

Р. В. Кривобок, к. техн. н., доцент, Я. М. Пітак, д. техн. н., професор,  
О. Ю. Федоренко, д. техн. н., професор, В. В. Волощук, д-р філософії,  
Є. В. Чефранов, д-р філософії, О. О. Гребенюк, аспірант, О. Р. Тимченко, аспірант

## **ВИВЧЕННЯ РЕАКЦІЙ ОБМІNU В СИСТЕМІ SrO-BaO-Al<sub>2</sub>O<sub>3</sub>-SiO<sub>2</sub>**

*Національний технічний університет «Харківський політехнічний інститут», Харків*

**Ключові слова:** цельзіан, славсоніт, тверді розчини, реакції обміну, термодинаміка, енталпія, ентропія, вільна енергія Гіббса.

**Вступ.** Наукові дослідження в галузі нанотехнологій і композитних матеріалів дозволяють розробляти нові типи радіопрозорих матеріалів з покращеними характеристиками – легкі, міцні, з високою тепловою стійкістю. Такі матеріали стають більш доступними та можуть використовуватися в широкому спектрі галузей. Розвиток радіопрозорих матеріалів в Україні має значний потенціал завдяки науково-дослідним централ та інститутам, що зосереджуються на матеріалознавстві та прикладних науках.

Неорганічні радіопрозорі матеріали відзначаються рівномірністю властивостей, здатністю витримувати високі температури та зберігати стабільні електрофізичні та електродинамічні параметри в широкому спектрі радіочастот. Водночас, значна частина наявних радіопрозорих керамічних матеріалів (кварцові, високоглиноземні, цирконієві, нітридні, боридні тощо) за сукупністю експлуатаційних характеристик, необхідних для тривалої та ефективної роботи виробів, не відповідає вимогам виробників аерокосмічної техніки та вирізняються низкою недоліків, зокрема високою вартістю сировинних матеріалів та складною багатостадійною технологією виробництва, що вимагає високотемпературної обробки [1–4].

Відомо, що керамічні матеріали на основі композицій системи SrO-BaO-Al<sub>2</sub>O<sub>3</sub>-SiO<sub>2</sub> володіють низькими значеннями показників діелектричних властивостей та є надзвичайно перспективними в різних галузях, де має місце висока пропускна здатність для електромагнітних хвиль без значних втрат. Так, тверді розчини (Ba<sub>1-x</sub>Sr<sub>x</sub>Al<sub>2</sub>Si<sub>2</sub>O<sub>8</sub>) є привабливими: як керамічні композитні матриці для використання в конструкціях, що експлуатуються за умов високих температур; керамічні компоненти в сучасних газотурбінних двигунах; елементи авіаційної техніки тощо [4–9].

В попередніх дослідженнях вченими [10,11] встановлена можливість протікання спряжених реакцій в системі SrO-BaO-Al<sub>2</sub>O<sub>3</sub>-SiO<sub>2</sub>, що в окремих випадках призводить до перебудови конод. Дані проведених термодинамічних розрахунків підтверджують, що до 1200 К фаза Ba<sub>2</sub>SiO<sub>4</sub> не реагує з фазою SrAl<sub>2</sub>Si<sub>2</sub>O<sub>8</sub>, проте в інтервалі температур 1200–1700 К реакція стає термодинамічно можливою з утворенням комбінації фаз BaSiO<sub>3</sub> – BaAl<sub>2</sub>O<sub>4</sub> – Sr<sub>2</sub>Al<sub>2</sub>SiO<sub>7</sub> (“заповнений контур”), що слід враховувати при подальшому дослідженні субсолідусної будови системи.

**Основна частина.** Під час вивчення багатокомпонентних оксидних систем варто враховувати можливість протікання реакцій обміну [12] у вигляді AX+BY = AY+BX або aA+bB = cC+dD. В технології отримання твердих матеріалів, таких як кераміка чи вогнетриви, суттєве значення має субсолідусна будова багатокомпонентних систем, у яких немає (чи присутні незначні) обмінних реакцій, а також визначення їх

температурних меж. Процеси перебудови конод в системі є непрогнозованими та потребують щоразу проведення спеціального аналізу, який суттєво ускладнює пошук елементарних комбінацій фаз та інколи робить їх умовними. Тим не менш, на даний час це єдиний шлях дослідження субсолідусної будови багатокомпонентних оксидних систем, який може надавати актуальні прикладні результати.

В даному випадку була розглянута можливість протікання реакцій типу  $aA + bB = cC + dD$  в межах концентраційного тетраедру  $\text{SrO} - \text{BaO} - \text{Al}_2\text{O}_3 - \text{SiO}_2$ . Основні сполуки та їх композиції в системі переважно застосовують при отриманні матеріалів зі спеціальними властивостями, зокрема для розробки засобів радіоспостереження в авіаційній техніці, як захист антенних пристрій від впливу зовнішніх факторів тощо [13,14].

Спочатку для визначення можливості перебігу реакцій обміну в системі  $\text{SrO} - \text{BaO} - \text{Al}_2\text{O}_3 - \text{SiO}_2$  необхідно встановити її субсолідусну будову. Першим етапом дослідження є встановлення співіснуючих фаз і визначення температурних границь можливих реакцій в системі. Для встановлення температурних границь протікання реакцій застосовували термодинамічний метод аналізу.

Для виявлення співісування фаз та будови окремих областей системи був проведений термодинамічний аналіз цих реакцій з використанням термодинамічних констант, наведених в табл. 1 [15,16].

Розрахунки вільної енергії Гіббса для реакцій проводили за методикою наведеною нижче.

- 1) Визначаємо ентальпію реакції при 298 К за формулою:

$$\Delta H_{298p}^0 = \sum \Delta H_{298}^0 \text{ продуктів} - \sum \Delta H_{298}^0 \text{ вихідних речовин}, \quad (1)$$

де  $\sum \Delta H_{298}^0$  продуктів – сума продуктів реакції, кДж;  $\sum \Delta H_{298}^0$  вихідних речовин – сума вихідних речовин, кДж.

- 2) Визначаємо ентропію реакції при 298 К за формулою

$$\Delta S_{298p}^0 = \sum \Delta S_{298}^0 \text{ продуктів} - \sum \Delta S_{298}^0 \text{ вихідних речовин}, \quad (2)$$

де  $\sum \Delta S_{298}^0$  продуктів – сума продуктів реакції, Дж;  $\sum \Delta S_{298}^0$  вихідних речовин – сума вихідних речовин, Дж.

3) Визначаємо коефіцієнти рівняння залежності теплоємності від температури реакції, виражаючи його у вигляді  $\Delta C_p = \Delta a + \Delta b \cdot T + \Delta c \cdot T^2$ :

$$\Delta C_{298}^0 = \sum \Delta C_{298}^0 \text{ продуктів} - \sum \Delta C_{298}^0 \text{ вихідних речовин}, \quad (3)$$

де  $\sum \Delta C_{298}^0$  продуктів – сума коефіцієнтів продуктів реакції;  $\sum \Delta C_{298}^0$  вихідних речовин – сума коефіцієнтів вихідних речовин.

- 4) Підставляємо значення  $\Delta H_{298}^0$  і  $\Delta C_p = f(T)$  у формулу для визначення  $\Delta H_T^0$ :

$$\Delta H_T^0 = \Delta H_{298}^0 + \int_{298}^T \Delta C_p dT. \quad (4)$$

де  $\Delta H_{298p}^0$  – ентальпія реакції при 298 К;  $\Delta C_p = f(T)$  – залежність теплоємності від температури реакції.

- 5) Знаючи  $\Delta S_{298}^0$  і  $\Delta C_p = f(T)$ , визначаємо  $\Delta S_T^0$  за формулою



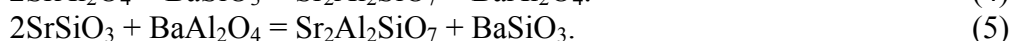
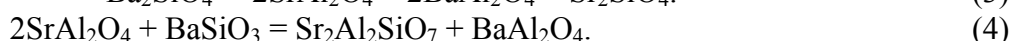
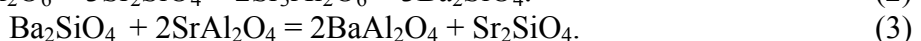
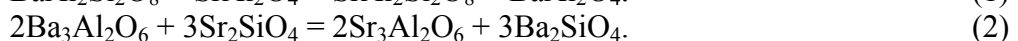
$$\Delta S_T^0 = \Delta S_{298}^0 + \int_{298}^T \frac{\Delta C_p}{T} dT. \quad (5)$$

де  $\Delta S_{298p}^0$  – ентропія реакції при 298 К;  $\Delta C_p = f(T)$  – залежність теплоємності від температури реакції

6) Знаючи  $\Delta H_T^0$  і  $\Delta S_T^0$ , визначаємо  $\Delta G_T^0$  за формулою

$$\Delta G_T^0 = \Delta H_T^0 - T\Delta S_T^0. \quad (6)$$

Розгляд субсолідусної будови системи SrO – BaO – Al<sub>2</sub>O<sub>3</sub> – SiO<sub>2</sub>, наведеної в роботах [18, 19] показав, що має місце низка реакцій обміну типу аА + вВ = сС + дД:



Залежність  $\Delta G_T^0$  від температури для реакції (1) наведена на рис. 1.

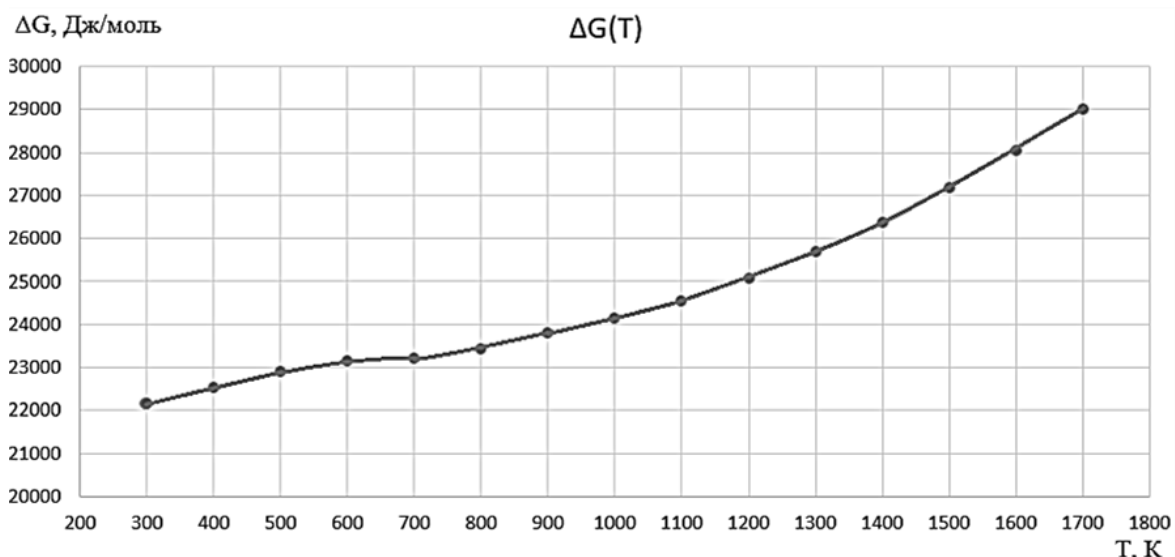


Рисунок 1 – Залежність вільної енергії Гіббса від температури для реакції  $BaAl_2Si_2O_8 + SrAl_2O_4 = SrAl_2Si_2O_8 + BaAl_2O_4$

З рис. 3.9 видно що  $BaAl_2Si_2O_8$  не реагує з  $SrAl_2O_4$  в інтервалі температур 300...1700 К. Тоді область системи  $BaAl_2Si_2O_8 - SrAl_2O_4 - SrAl_2Si_2O_8 - BaAl_2O_4$  розбивається на 2 елементарні трикутники (рис. 2):  $BaAl_2Si_2O_8 - SrAl_2O_4 - SrAl_2Si_2O_8$  і  $BaAl_2Si_2O_8 - SrAl_2O_4 - BaAl_2O_4$ .

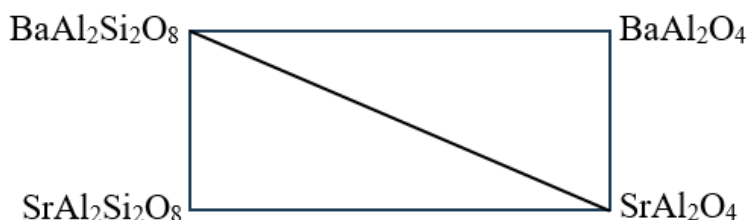


Рисунок 2 – Елементарні трикутники області  
 $\text{BaAl}_2\text{Si}_2\text{O}_8 - \text{SrAl}_2\text{O}_4 - \text{SrAl}_2\text{Si}_2\text{O}_8 - \text{BaAl}_2\text{O}_4$  системи  $\text{SrO} - \text{BaO} - \text{Al}_2\text{O}_3 - \text{SiO}_2$

Залежність вільної енергії Гіббса від температури для реакції (2) наведена на рис. 3, з якого виходить, що в інтервалі температур 300...1700 К  $\text{Ba}_3\text{Al}_2\text{O}_6$  реагує з  $\text{Sr}_2\text{SiO}_4$  з утворенням комбінації фаз  $\text{Sr}_3\text{Al}_2\text{O}_6 - \text{Ba}_2\text{SiO}_4$ . При цьому область системи  $\text{Ba}_3\text{Al}_2\text{O}_6 - \text{Sr}_2\text{SiO}_4 - \text{Sr}_3\text{Al}_2\text{O}_6 - \text{Ba}_2\text{SiO}_4$  розбивається на два елементарні трикутники (рис. 4).

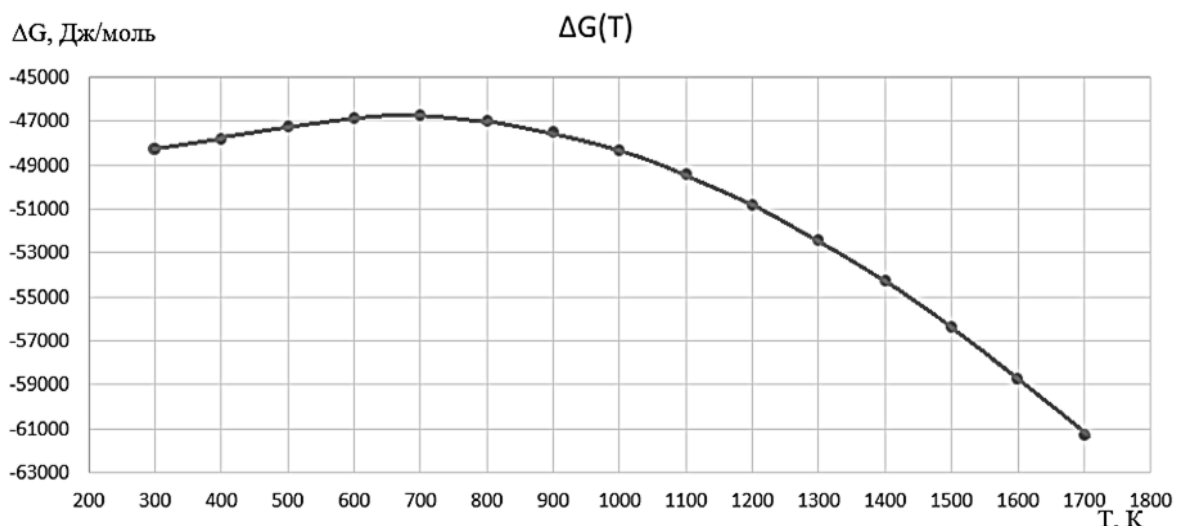


Рисунок 3 – Залежність вільної енергії Гіббса від температури для реакції  $2\text{Ba}_3\text{Al}_2\text{O}_6 + 3\text{Sr}_2\text{SiO}_4 = 2\text{Sr}_3\text{Al}_2\text{O}_6 + 3\text{Ba}_2\text{SiO}_4$

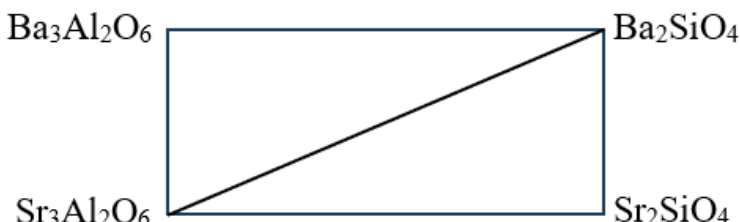


Рисунок 4 – Елементарні трикутники області  $\text{Ba}_3\text{Al}_2\text{O}_6 - \text{Sr}_2\text{SiO}_4 - \text{Sr}_3\text{Al}_2\text{O}_6 - \text{Ba}_2\text{SiO}_4$  системи  $\text{SrO} - \text{BaO} - \text{Al}_2\text{O}_3 - \text{SiO}_2$  в інтервалі температур 300...1700 К

З температурної залежності вільної енергії Гіббса для реакції (3), наведеної на рис. 5. Видно, що в інтервалі температур 300...875 К  $\text{Ba}_2\text{SiO}_4$  не реагує з  $\text{SrAl}_2\text{O}_4$ .

Стабільною є комбінація фаз  $\text{Ba}_2\text{SiO}_4 - \text{SrAl}_2\text{O}_4$ . При цьому область системи  $\text{Ba}_2\text{SiO}_4 - \text{SrAl}_2\text{O}_4 - \text{BaAl}_2\text{O}_4 - \text{Sr}_2\text{SiO}_4$  розбивається на два елементарні трикутники:  $\text{Ba}_2\text{SiO}_4 - \text{SrAl}_2\text{O}_4 - \text{BaAl}_2\text{O}_4$  і  $\text{Ba}_2\text{SiO}_4 - \text{Sr}_2\text{SiO}_4$  (рис. 6 а).

В інтервалі температур 875...1700 К фаза  $\text{Ba}_2\text{SiO}_4$  реагує зі  $\text{SrAl}_2\text{O}_4$  з утворенням стабільної комбінації фаз  $\text{BaAl}_2\text{O}_4 - \text{Sr}_2\text{SiO}_4$ . Має місце перебудова конод і область системи  $\text{Ba}_2\text{SiO}_4 - \text{SrAl}_2\text{O}_4 - \text{BaAl}_2\text{O}_4 - \text{Sr}_2\text{SiO}_4$  розбивається на два елементарні трикутники:  $\text{Ba}_2\text{SiO}_4 - \text{BaAl}_2\text{O}_4 - \text{Sr}_2\text{SiO}_4$  та  $\text{SrAl}_2\text{O}_4 - \text{BaAl}_2\text{O}_4 - \text{Sr}_2\text{SiO}_4$  (рис. 6 б).

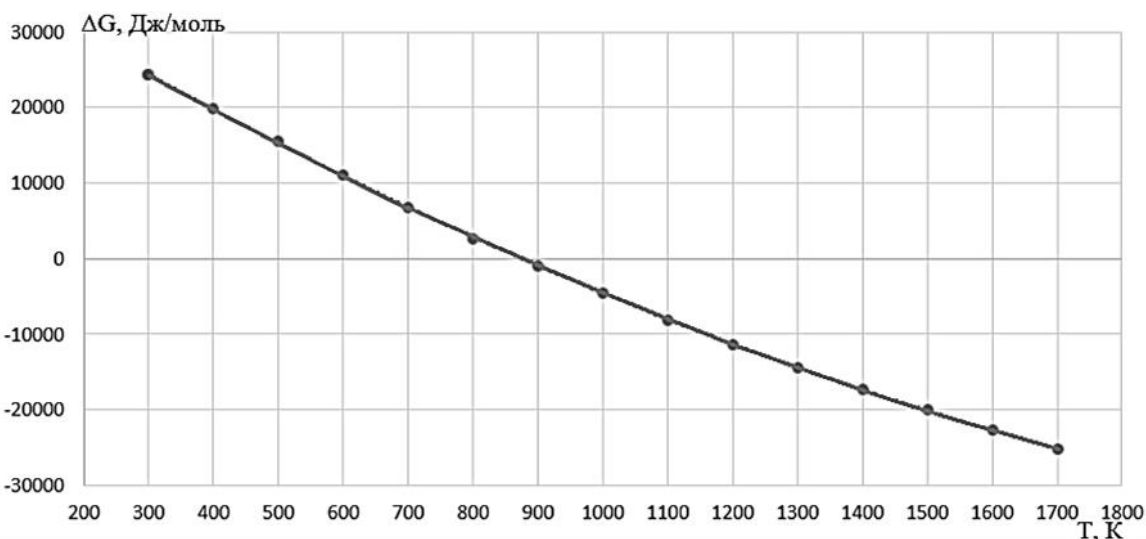


Рисунок 5 – Залежність вільної енергії Гіббса від температури для реакції  $\text{Ba}_2\text{SiO}_4 + 2\text{SrAl}_2\text{O}_4 = 2\text{BaAl}_2\text{O}_4 + \text{Sr}_2\text{SiO}_4$

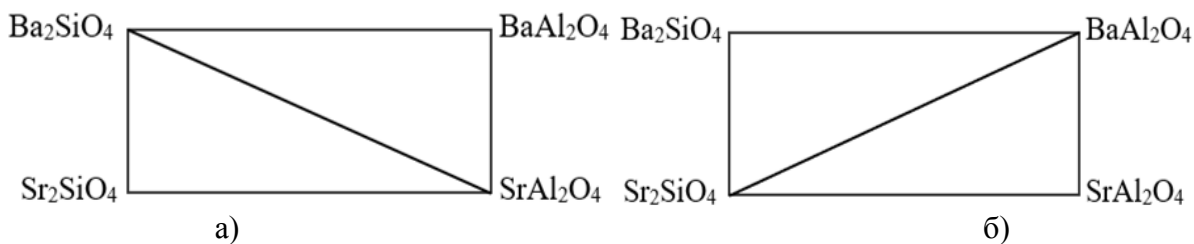


Рисунок 6 – Елементарні трикутники області  $\text{Ba}_2\text{SiO}_4 - \text{SrAl}_2\text{O}_4 - \text{BaAl}_2\text{O}_4 - \text{Sr}_2\text{SiO}_4$  системи  $\text{SrO} - \text{BaO} - \text{Al}_2\text{O}_3 - \text{SiO}_2$  в інтервалі температур 300...875 K (а), в інтервалі температур 875...1700 K (б)

Залежність вільної енергії Гіббса від температури для реакції (4) наведена на рис. 7, з якого видно, що в інтервалі температур 300...1700 К фаза  $\text{SrAl}_2\text{O}_4$  реагує з  $\text{BaSiO}_3$ . Стабільною є комбінація фаз  $\text{Sr}_2\text{Al}_2\text{SiO}_7 + \text{BaAl}_2\text{O}_4$ .

При цьому область системи  $\text{SrAl}_2\text{O}_4 - \text{BaSiO}_3 - \text{Sr}_2\text{Al}_2\text{SiO}_7 - \text{BaAl}_2\text{O}_4$  також розбивається на два елементарні трикутники (рис. 8):  $\text{SrAl}_2\text{O}_4 - \text{Sr}_2\text{Al}_2\text{SiO}_7 - \text{BaAl}_2\text{O}_4$  і  $\text{BaSiO}_3 - \text{Sr}_2\text{Al}_2\text{SiO}_7 - \text{BaAl}_2\text{O}_4$ .

Залежність вільної енергії Гіббса від температури для реакції (5) наведена на рис. 9. Відзначено, що в інтервалі температур 300–1700 К фаза  $\text{SrSiO}_3$  реагує з  $\text{BaAl}_2\text{O}_4$ . Стабільною є комбінація фаз  $\text{Sr}_2\text{Al}_2\text{SiO}_7 - \text{BaSiO}_3$ . При цьому область системи  $\text{SrSiO}_3 - \text{BaAl}_2\text{O}_4 - \text{Sr}_2\text{Al}_2\text{SiO}_7 - \text{BaSiO}_3$  розбивається на 2 елементарні трикутники (рис. 10):  $\text{SrSiO}_3 - \text{Sr}_2\text{Al}_2\text{SiO}_7 - \text{BaSiO}_3$  та  $\text{BaAl}_2\text{O}_4 - \text{Sr}_2\text{Al}_2\text{SiO}_7 - \text{BaSiO}_3$ . Таким чином,

термодинамічний аналіз можливих обмінних реакцій в системі SrO – BaO – Al<sub>2</sub>O<sub>3</sub> – SiO<sub>2</sub> показав імовірність протікання п'яти реакцій типу aA + bB = cC + dD.

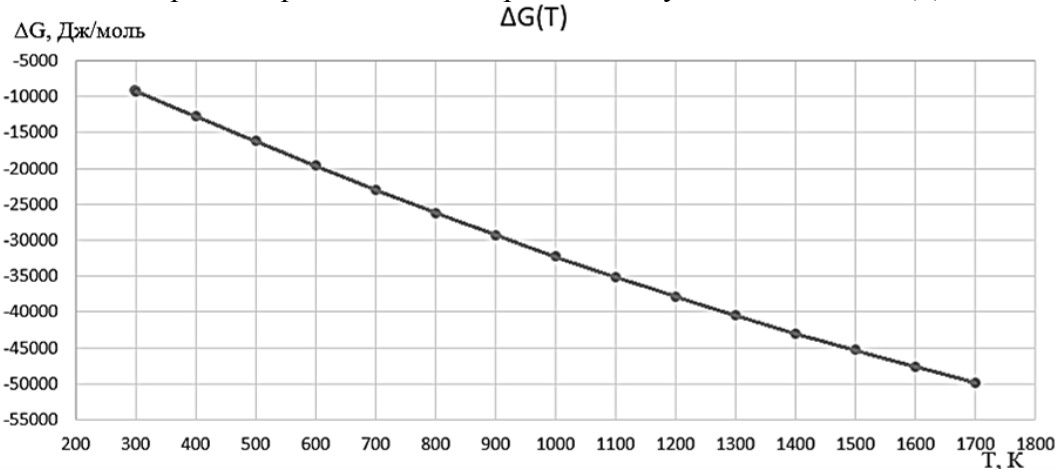


Рисунок 7 – Залежність вільної енергії Гіббса від температури для реакції  
 $2\text{SrAl}_2\text{O}_4 + \text{BaSiO}_3 = \text{Sr}_2\text{Al}_2\text{SiO}_7 + \text{BaAl}_2\text{O}_4$

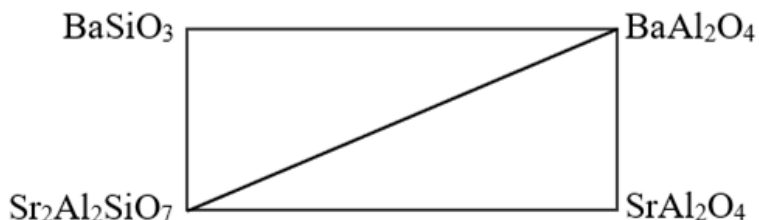


Рисунок 8 – Елементарні трикутники області  
 $\text{SrAl}_2\text{O}_4 + \text{BaSiO}_3 = \text{Sr}_2\text{Al}_2\text{SiO}_7 + \text{BaAl}_2\text{O}_4$  системи SrO – BaO – Al<sub>2</sub>O<sub>3</sub> – SiO<sub>2</sub>  
 в інтервалі температур 300...1700 К

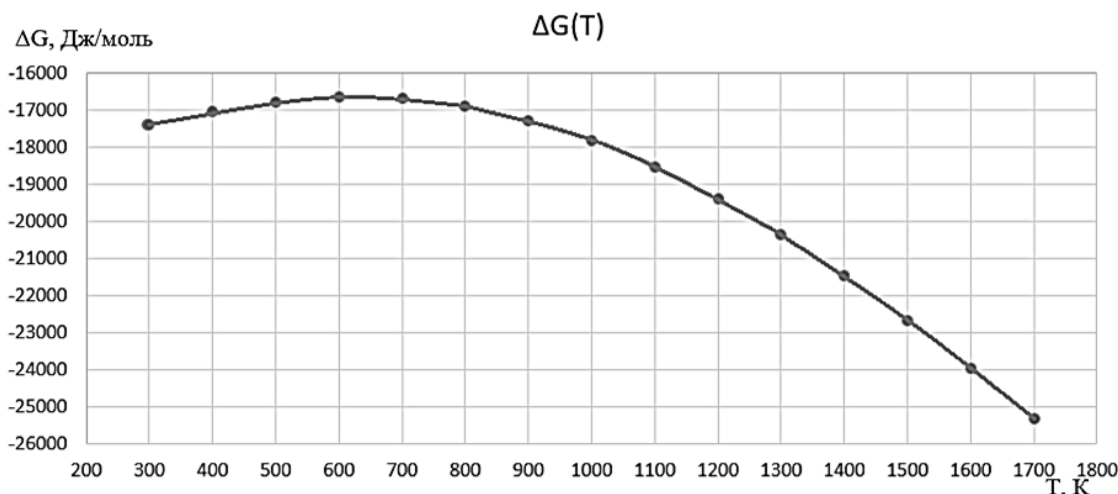


Рисунок 9 – Залежність вільної енергії Гіббса від температури  
 для реакції  $2\text{SrSiO}_3 + \text{BaAl}_2\text{O}_4 = \text{Sr}_2\text{Al}_2\text{SiO}_7 + \text{BaSiO}_3$

В інтервалі температур 300...1700 К встановлено існування наступних конод:  $\text{BaAl}_2\text{Si}_2\text{O}_8 - \text{SrAl}_2\text{O}_4$ ,  $\text{Sr}_3\text{Al}_2\text{O}_6 - \text{Ba}_2\text{SiO}_4$ ,  $\text{BaAl}_2\text{Si}_2\text{O}_8 - \text{Sr}_2\text{SiO}_4$ . В інтервалі 300...800 К фаза  $\text{BaAl}_2\text{Si}_2\text{O}_8$  реагує з  $\text{Sr}_2\text{SiO}_4$  з утворенням комбінації фаз  $\text{Sr}_2\text{Al}_2\text{SiO}_7 - 2\text{SrSiO}_3 - \text{BaSiO}_3$  («заповнений трикутник»). Підтверджено існування комбінації фаз  $\text{Sr}_2\text{Al}_2\text{SiO}_7 - 2\text{SrSiO}_3 - \text{BaSiO}_3$  («заповнений трикутник») в інтервалі температур 300...1700 К.

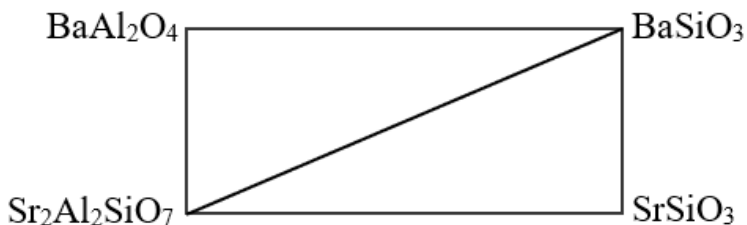


Рисунок 10 – Елементарні трикутники області  
 $\text{SrSiO}_3 - \text{BaAl}_2\text{O}_4 - \text{Sr}_2\text{Al}_2\text{SiO}_7 - \text{BaSiO}_3$  системи  $\text{SrO} - \text{BaO} - \text{Al}_2\text{O}_3 - \text{SiO}_2$   
 в інтервалі температур 300...1700 К

Розрахунки також підтверджують, що до  $T = 1200$  К  $\text{Ba}_2\text{SiO}_4$  не реагує з  $\text{SrAl}_2\text{Si}_2\text{O}_8$ , а в інтервалі температур 1200...1700 К реакція термодинамічно можлива з утворенням комбінації фаз  $\text{BaSiO}_3 - \text{BaAl}_2\text{O}_4 - \text{Sr}_2\text{Al}_2\text{SiO}_7$  («заповнений контур»). Наведені дані слід враховувати в подальшому при розгляді субсолідусної будови системи  $\text{SrO} - \text{BaO} - \text{Al}_2\text{O}_3 - \text{SiO}_2$ .

**Висновки.** За результатами проведених теоретичних досліджень встановлено, що в багатокомпонентній системі  $\text{SrO}-\text{BaO}-\text{Al}_2\text{O}_3-\text{SiO}_2$  існує можливість протікання п'яти реакцій типу  $aA+bB = cC+dD$ . В свою чергу в інтервалі температур 300...1700 К встановлено існування наступних конод:  $\text{BaAl}_2\text{Si}_2\text{O}_8 - \text{SrAl}_2\text{O}_4$  та  $\text{Sr}_3\text{Al}_2\text{O}_6 - \text{Ba}_2\text{SiO}_4$ . Виявлено, що в температурному інтервалі 800...1700 К присутня конода  $\text{BaAl}_2\text{Si}_2\text{O}_8 - \text{Sr}_2\text{SiO}_4$ , при цьому в межах 300...800 К фаза  $\text{BaAl}_2\text{Si}_2\text{O}_8$  реагує з фазою  $\text{Sr}_2\text{SiO}_4$  з утворенням комбінації фаз «заповнений трикутник» –  $\text{Sr}_2\text{Al}_2\text{SiO}_7-2\text{SrSiO}_3-\text{BaSiO}_3$ .

За даними термодинамічних розрахунків підтверджено, що за температури нижче 1200 К фаза  $\text{Ba}_2\text{SiO}_4$  не реагує з фазою  $\text{SrAl}_2\text{Si}_2\text{O}_8$ , однак в температурному інтервалі 1200...1700 К реакція стає термодинамічно можлива та утворює комбінацію фаз «заповнений контур» –  $\text{BaSiO}_3 - \text{BaAl}_2\text{O}_4 - \text{Sr}_2\text{Al}_2\text{SiO}_7$ .

Отримані нові дані щодо протікання реакцій обміну в системі  $\text{SrO}-\text{BaO}-\text{Al}_2\text{O}_3-\text{SiO}_2$  стануть підґрунттям для подальшого вивчення її субсолідусної будови.

**Подяка.** Дослідження здійснювались за рахунок грантової підтримки Національного фонду досліджень України в рамках проекту 2023.04/0117 «Технологія виготовлення керамічних радіопрозорих вікон для антенно-хвильових систем сучасної радіоактивної ракетної техніки».

## Література

1. Radio-transparent ceramic materials of spodumene cordierite composition / Zaichuk A.V., Amelina A.A., Karasik Y.V., Khomenko Y.S., Lementareva V.A., Saltykov D.Yu. // Functional Materials. – 2019. – Vol. 26. – No. 1. – P. 174–181.

2. Quartz ceramics modified by nanodispersed silica additive / Khomenko E.S., Zaichuk A.V., Karasik E.V., Kunitsa A.A. // Funct. Mater. – 2018. – Vol. 25. – No. 3. – P. 613–618.
3. Pressureless sintering of high performance silicon nitride ceramics at 1620 °C / Chunxi L., Yaxiang Z., Tengfei D. // Ceramics International. – 2021. – Vol. 47. – Iss. 20. – P. 29371–29378.
4. Solid state reaction synthesis of  $Ba_{0.75}Sr_{0.25}AlSi_2O_8$  –  $Al_2O_3$  ceramic composites from mechanically activated precursor mixtures / Ramos-ramírez M.V., López-cuevas J., Rodríguez-galicia J.L., Rendón-angeles J.C. // Boletín de la Sociedad Espanola de Ceramica y Vidrio, 2014. – Vol. 53 (3). – P. 121–132.
5. Sebastian M.T., Ubić R., Jantunen H. Low-loss dielectric ceramic materials and their properties // International Materials Reviews. – 2015. – Vol. 60. – No. 7. – P. 392–412.
6. Bansal N.P. Handbook of ceramic composites. Springer, 2004. – 564 p.
7. Electrodynamic characteristics of ceramics based on  $SrO-Al_2O_3-SiO_2$  system in microwave range / Grygoruk V.I., Oliynyk V.V., Launets V.L., Lisachuk G.V., Kryvobok R.V., Zakharov A.V., Karputin B.A. // Journal of Nano- and Electronic Physics. – 2017. – Vol.9. – No. 5. – Art. No. 05014.
8. Дослідження впливу технологічних параметрів на властивості цельзіан-славсонітової кераміки / Пітак Я.М., Лісачук Г.В., Кривобок Р.В., Захаров А.В., Волошук В.В., Чефранов Є.В., Майстат М.С. // Наукові дослідження з вогнетривів та технічної кераміки. Збірник наукових праць. – 2019. – № 119. – С. 82–88.
9. Науково-технічні підходи до вирішення актуальних проблем розбудови сектору безпеки і оборони: колективна монографія / за заг. ред. проф. А.П. Марченка. – Одеса: Видавничий дім «Гельветика». – 2021. – 324 с.
10. Theoretical prerequisites for creation of radio transparent ceramic materials based on the system  $BaO$  –  $SrO$  –  $Al_2O_3$  –  $SiO_2$  / G.V. Lisachuk, R.V. Kryvobok, E.V. Chefranov, V.V. Voloshchuk // Achievements of Ukraine and the EU in ecology, biology, chemistry, geography and agricultural sciences: Collective monograph. – Riga, Latvia: “Baltija Publishing”. – 2021. – Vol. 2. – P. 282–318.
11. Спряжені реакції в багатокомпонентній системі  $SrO-BaO-Al_2O_3-SiO_2$  / Кривобок Р.В., Пітак Я.М., Лісачук Г.В., Волошук В.В., Гребенюк О.О., Кудій М.О., Баглай В.Ю. // Voprosy khimii i khimicheskoi tekhnologii. – 2024. – No. 5. – P. 138–145.
12. Бережний А.С. Фізико-хімічні системи тугоплавких, неметалічних і силікатних матеріалів: Навчальний посібник / А.С. Бережний, Я.М. Пітак, О.Д. Пономаренко, Н.П. Соболь. – К.: НМК ВО, 1992. – 172 с.
13. Dielectric and mechanical properties of hypersonic radome materials and metamaterial design: A review / Taylor Kenion, Ni Yang, Chengying Xu // Journal of the European Ceramic Society. – 2022. – Vol.42. – № 1. – P. 1–17.
14. High temperature ceramic radomes (HTCR) – A review / Abanti Nag, R. Ramachandra Rao, P.K. Panda. // Ceramics International. – 2021. – Vol. 47. – № 15. – P. 20793–20806.
15. Adarsh Shukla. Development of a critically evaluated thermodynamic database for the systems containing alkaline-earth oxides. – Montreal. – 2012. – 349 p.
16. Хімічна технологія тугоплавких неметалевих і силікатних матеріалів у прикладах і задачах: навч. посіб.: у 2 ч. / НТУ «ХПІ». Харків: «Підручник НТУ «ХПІ»», 2015. Ч. 2: Фізико-хімічні системи, фазові рівноваги, термодинаміка, ресурсо- та енергозбереження в технології ТНСМ / за ред. М.І. Рищенка. – 336 с.

17. Babushkin V.I., Matveev G.M., Mchedlov-Petrosian O.P. Thermodynamics of silicates / translate B.N. Frenkel, V.A. Terentyev. Springer Berlin Heidelberg. – 2011. – 459 p.
18. Thermodynamic analysis of solid phase reactions in  $\text{SrO} - \text{Al}_2\text{O}_3 - \text{SiO}_2$  system / Lisachuk G.V., Kryvobok R.V., Fedorenko E.Y., Zakharov A.V., Prytkina M.S. // Functional Materials. – 2016. – Vol. 23. – No 1. – P. 71–74.
19. Чефранов Є.В. Радіопрозорі керамічні матеріали на основі системи  $\text{BaO} - \text{SrO} - \text{Al}_2\text{O}_3 - \text{SiO}_2$ : дис. ...канд. техн. наук. Харків, 2020. – 199 с.

Bibliography (transliterated)

1. Radio-transparent ceramic materials of spodumene cordierite composition / Zaichuk A.V., Amelina A.A., Karasik Y.V., Khomenko Y.S., Lementareva V.A., Saltykov D.Yu. // Functional Materials. – 2019. – Vol. 26. – No. 1. – P. 174–181.
2. Quartz ceramics modified by nanodispersed silica additive / Khomenko E.S., Zaichuk A.V., Karasik E.V., Kunitsa A.A. // Funct. Mater. – 2018. – Vol. 25. – No. 3. – P. 613–618.
3. Pressureless sintering of high performance silicon nitride ceramics at 1620 °C / Chunxi L., Yaxiang Z., Tengfei D. // Ceramics International. – 2021. – Vol. 47. – Iss. 20. – P. 29371–29378.
4. Solid state reaction synthesis of  $\text{Ba}_{0.75}\text{Sr}_{0.25}\text{AlSi}_2\text{O}_8 - \text{Al}_2\text{O}_3$  ceramic composites from mechanically activated precursor mixtures / Ramos-ramírez M.V., López-cuevas J., Rodríguez-galicia J.L., Rendón-angeles J.C. // Boletín de la Sociedad Espanola de Ceramica y Vidrio, 2014. – Vol. 53 (3). – P. 121–132.
5. Sebastian M.T., Ubic R., Jantunen H. Low-loss dielectric ceramic materials and their properties // International Materials Reviews. 2015. – Vol.60. – No. 7. – P. 392–412.
6. Bansal N.P. Handbook of ceramic composites. Springer, 2004. – 564 p.
7. Electrodynamic characteristics of ceramics based on  $\text{SrO}-\text{Al}_2\text{O}_3-\text{SiO}_2$  system in microwave range / Grygoruk V.I., Oliynyk V.V., Launets V.L., Lisachuk G.V., Kryvobok R.V., Zakharov A.V., Karputin B.A. // Journal of Nano- and Electronic Physics. – 2017. – Vol.9. – No. 5. – Art. No. 05014.
8. Doslidzhennia vplyvu tekhnolohichnykh parametiv na vlastyvosti tselzianslavsonitovoї keramiky / Pitak Ya.M., Lisachuk H.V., Kryvobok R.V., Zakharov A.V., Voloshchuk V.V., Chefranov Ye.V., Maistat M.S. // Naukovi doslidzhennia z vohnetryviv ta tekhnichnoi keramiky. Zbirnyk naukovykh prats. – 2019. – № 119. – P. 82–88.
9. Naukovo-tehnichni pidkhody do vyrihennia aktualnykh problem rozbudovy sektoru bezpeky i oborony: kolektivna monohrafia / za zah. red. prof. A.P. Marchenko. – Odesa: Vyadvnychi dim «Helvetyka». – 2021. – 324 p.
10. Theoretical prerequisites for creation of radio transparent ceramic materials based on the system  $\text{BaO} - \text{SrO} - \text{Al}_2\text{O}_3 - \text{SiO}_2$  / G.V. Lisachuk, R.V. Kryvobok, E.V. Chefranov, V.V. Voloshchuk // Achievements of Ukraine and the EU in ecology, biology, chemistry, geography and agricultural sciences: Collective monograph. – Riga, Latvia: “Baltija Publishing”. – 2021. – Vol. 2. – P. 282–318.
11. Cpriazheni reaktsii v bahatokomponentnii sistemi  $\text{SrO}-\text{BaO}-\text{Al}_2\text{O}_3-\text{SiO}_2$  / Kryvobok R.V., Pitak Ya.M., Lisachuk H.V., Voloshchuk V.V., Hrebeniuk O.O., Kudii M.O., Bahlai V.Iu. // Voprosy khimii i khimicheskoi tekhnologii. – 2024. – No. 5. – P. 138–145.
12. Berezhnyi A.S. Fizyko-khimichni sistemy tuhoplavkykh, nemetalichnykh i sylikatnykh materialiv: Navchalnyi posibnyk / A.S. Berezhnyi, Ya.M. Pitak, O.D. Ponomarenko, N.P. Sobol. – K.:NMK VO, 1992. – 172 p.

13. Dielectric and mechanical properties of hypersonic radome materials and metamaterial design: A review / Taylor Kenion, Ni Yang, Chengying Xu // Journal of the European Ceramic Society. – 2022. – Vol.42. – № 1. – P. 1–17.
14. High temperature ceramic radomes (HTCR) – A review / Abanti Nag, R. Ramachandra Rao, P.K. Panda. // Ceramics International. – 2021. – Vol. 47. – № 15. – P. 20793–20806.
15. Adarsh Shukla. Development of a critically evaluated thermodynamic database for the systems containing alkaline-earth oxides. – Montreal. – 2012. – 349 p.
16. Khimichna tekhnolohiia tuhoplavkykh nemetalevykh i sylikatnykh materialiv u prykladakh i zadachakh: navch. posib.: u 2 ch. / NTU «KhPI». Kharkiv: «Pidruchnyk NTU «KhPI»», 2015. Ch. 2: Fizyko-khimichni systemy, fazovi rivnovahy, termodynamika, resursota enerhozberezhennia v tekhnolohii TNSM / za red. M.I. Ryshchenka. – 336 p.
17. Babushkin V.I., Matveev G.M., Mchedlov-Petrosian O.P. Thermodynamics of silicates / translate B.N. Frenkel, V.A. Terentyev. Springer Berlin Heidelberg. – 2011. – 459 p.
18. Thermodynamic analysis of solid phase reactions in  $\text{SrO} - \text{Al}_2\text{O}_3 - \text{SiO}_2$  system / Lisachuk G.V., Kryvobok R.V., Fedorenko E.Y., Zakharov A.V., Prytkina M.S. // Functional Materials. – 2016. – Vol. 23. – No 1. – P. 71–74.
19. Chefranov Ye.V. Radioprozori keramichni materialy na osnovi systemy  $\text{BaO} - \text{SrO} - \text{Al}_2\text{O}_3 - \text{SiO}_2$ : dys. ...kand. tekhn. nauk. Kharkiv, 2020. 199 p.

УДК 666.651

Р. В. Кривобок, к. техн. н., доцент, Я. М. Пітак, д. техн. н., професор,  
О. Ю. Федоренко, д. техн. н., професор, В. В. Волошук, д-р філософії,  
Є. В. Чефранов, д-р філософії, О. О. Гребенюк, аспірант, О. Р. Тимченко, аспірант

### **ВИВЧЕННЯ РЕАКЦІЙ ОБМІНУ В СИСТЕМІ $\text{SrO}\text{-}\text{BaO}\text{-}\text{Al}_2\text{O}_3\text{-}\text{SiO}_2$**

Наукові дослідження в області нанотехнологій та композитних матеріалів для авіаційної та космічної техніки сприяють створенню нових видів радіопрозорих матеріалів з поліпшеними властивостями. Потреба в цих матеріалах особливо зростає в умовах підвищеної температури, високої швидкості та агресивного зовнішнього середовища, де традиційні полімерні або композитні матеріали не можуть забезпечити необхідного рівня показників ключових властивостей. Керамічні матеріали, виготовлені на основі цільових фаз системи  $\text{SrO}\text{-}\text{BaO}\text{-}\text{Al}_2\text{O}_3\text{-}\text{SiO}_2$ , мають низькі показники діелектричних властивостей та є доволі перспективними для застосування в різних сферах, де важлива висока прозорість для електромагнітних хвиль з мінімальними втратами. У зв'язку з цим є актуальним більш детальне вивчення її субсолідусної будови. В даній статті розглянуто питання протікання реакцій обміну типу  $a\text{A}+\text{b}\text{B} = c\text{C}+d\text{D}$  в об'ємі концентраційного тетраедра  $\text{SrO}\text{-}\text{BaO}\text{-}\text{Al}_2\text{O}_3\text{-}\text{SiO}_2$ . В роботі приведено результати розрахунків вільної енергії Гіббса для реакцій обміну в розглянутій системі. Зазначено інтервали температур для існування окремих комбінацій фаз та графічно представлено утворені елементарні трикутники. За результатами здійснених теоретичних досліджень встановлено, що в системі  $\text{SrO}\text{-}\text{BaO}\text{-}\text{Al}_2\text{O}_3\text{-}\text{SiO}_2$  існує можливість протікання п'яти реакцій обміну типу  $a\text{A}+\text{b}\text{B} = c\text{C}+d\text{D}$ . Виявлено, що в температурному інтервалі 300...1700 К присутні коноди  $\text{BaAl}_2\text{Si}_2\text{O}_8 - \text{SrAl}_2\text{O}_4$  та  $\text{Sr}_3\text{Al}_2\text{O}_6 - \text{Ba}_2\text{SiO}_4$ . Підтверджена наявність комбінації фаз «заповнений трикутник» –  $\text{Sr}_2\text{Al}_2\text{SiO}_7\text{-}2\text{SrSiO}_3\text{-}\text{BaSiO}_3$  у температурному інтервалі 300...800 К, а також

встановлено існування комбінації фаз «заповнений контур» –  $\text{BaSiO}_3$  –  $\text{BaAl}_2\text{O}_4$  –  $\text{Sr}_2\text{Al}_2\text{SiO}_7$  у температурному інтервалі 1200…1700 К. Виявлення даної комбінації фаз дає можливість розширити існуючу область в дослідній системі для створення високотемпературних керамічних матеріалів. В свою чергу, за отриманими даними термодинамічних розрахунків встановлено, що за температури нижче 1200 К цільові фази розглянутої системи  $\text{Ba}_2\text{SiO}_4$  та  $\text{SrAl}_2\text{Si}_2\text{O}_8$  між собою не взаємодіють, а реакція є термодинамічно невигідною.

**Ключові слова:** цельзіан, славсоніт, тверді розчини, реакції обміну, термодинаміка, енталпія, ентропія, вільна енергія Гіббса.

R. V. Kryvobok, Ya. M. Pitak, O. Yu. Fedorenko, V. V. Voloshchuk, E. V. Chefranov,  
O. O. Hrebeniuk, O. R. Tymchenko

## **STUDY OF EXCHANGE REACTIONS IN THE $\text{SrO}\text{-}\text{BaO}\text{-}\text{Al}_2\text{O}_3\text{-}\text{SiO}_2$ SYSTEM**

Scientific research in the field of nanotechnology and composite materials for aviation and space technology contributes to the creation of new types of radio-transparent materials with improved properties. The need for these materials is especially growing in conditions of high temperature, high speed and aggressive external environment, where traditional polymer or composite materials cannot provide the necessary level of key properties. Ceramic materials made on the basis of target phases of the  $\text{SrO}\text{-}\text{BaO}\text{-}\text{Al}_2\text{O}_3\text{-}\text{SiO}_2$  system have low dielectric properties and are quite promising for use in various fields where high transparency for electromagnetic waves with minimal losses is important. In this regard, a more detailed study of its subsolidus structure is relevant. This article deals with the flow of exchange reactions of the type  $aA+bB = cC+dD$  in the volume of the  $\text{SrO}\text{-}\text{BaO}\text{-}\text{Al}_2\text{O}_3\text{-}\text{SiO}_2$  concentration tetrahedron. The paper presents the results of Gibbs free energy calculations for exchange reactions in the considered system. The temperature intervals for the existence of separate combinations of phases are indicated and the formed elementary triangles are graphically presented. Based on the results of theoretical studies, it was established that in the  $\text{SrO}\text{-}\text{BaO}\text{-}\text{Al}_2\text{O}_3\text{-}\text{SiO}_2$  system there is a possibility of five exchange reactions of the type  $aA+bB = cC+dD$ . It was found that  $\text{BaAl}_2\text{Si}_2\text{O}_8$  –  $\text{SrAl}_2\text{O}_4$  and  $\text{Sr}_3\text{Al}_2\text{O}_6$  –  $\text{Ba}_2\text{SiO}_4$  anodes are present in the temperature range of 300…1700 K. The presence of a combination of "filled triangle" phases –  $\text{Sr}_2\text{Al}_2\text{SiO}_7\text{-}2\text{SrSiO}_3\text{-BaSiO}_3$  in the temperature range of 300…800 K was confirmed, and the existence of a combination of "filled circuit" phases –  $\text{BaSiO}_3$  –  $\text{BaAl}_2\text{O}_4$  –  $\text{Sr}_2\text{Al}_2\text{SiO}_7$  in the temperature range of 1200…1700 K was confirmed. The discovery of this combination of phases makes it possible to expand the existing area in the experimental system for creating high-temperature ceramic materials. In turn, according to the obtained data of thermodynamic calculations, it was established that at temperatures below 1200 K, the target phases of the considered system,  $\text{Ba}_2\text{SiO}_4$  and  $\text{SrAl}_2\text{Si}_2\text{O}_8$ , do not interact with each other, and the reaction is thermodynamically disadvantageous.

**Keywords:** celsian, slawsonite, solid solutions, exchange reactions, thermodynamics, enthalpy, entropy, Gibbs free energy.